

РОССИЙСКАЯ АКАДЕМИЯ НАУК
СИБИРСКОЕ ОТДЕЛЕНИЕ

А В Т О М Е Т Р И Я

№ 4

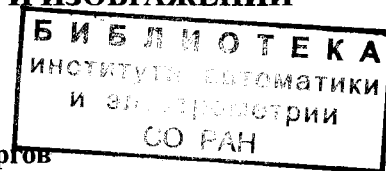
2000

МЕТОДЫ ОБРАБОТКИ СИГНАЛОВ И ИЗОБРАЖЕНИЙ

УДК 681.3.019 + 621.391.266

В. М. Ефимов, А. В. Торгов

(Новосибирск)



ОПРЕДЕЛЕНИЕ ПАРАМЕТРОВ ФИЛЬТРА
С КОНЕЧНО-ИМПУЛЬСНОЙ ХАРАКТЕРИСТИКОЙ
ПРИ ОГРАНИЧЕНИЯХ НА ЗНАЧЕНИЯ
ЕГО ЧАСТОТНОЙ ХАРАКТЕРИСТИКИ

Параметры КИХ-фильтра определяются на основе минимизации интегрально-го среднеквадратичного критерия близости между заданной и искомой частот-ной характеристикой при ограничениях на значения последней.

1. При построении КИХ-фильтра с заданной четной частотной характе-ристикой $\tilde{h}(\omega)$ весьма эффективным является метод частотной выборки [1], при котором частотная характеристика искомого фильтра при числе отсчетов $2N + 1$ определяется соотношением

$$\tilde{w}(\omega) = \sum_{k=-N}^N \tilde{h}\left(\frac{2k}{2N+1}\right) \frac{\sin \frac{2N+1}{2} \pi \left(\omega - \frac{2k}{2N+1}\right)}{(2N+1) \sin \frac{\pi}{2} \left(\omega - \frac{2k}{2N+1}\right)}. \quad (1)$$

Если заданная частотная характеристика фильтра $\tilde{h}(\omega)$ достаточно глад-кая и число отсчетов $2N + 1$ достаточно велико, то соотношение (1), как пра-вило, дает хорошие результаты, особенно в случае, когда характерные точки спектра совпадают с абсциссами частотной выборки. Для резко меняющейся частотной характеристики $\tilde{h}(\omega)$ в областях этих изменений значения части отсчетов в (1) делаются регулируемыми для того, чтобы ослабить возникаю-щие колебания и, например, обеспечить соответствующее затухание частот-ной характеристики. Весовая функция КИХ-фильтра при этом определяется формулой

$$w_k = \frac{1}{2N+1} \left(\tilde{w}(0) + 2 \sum_{m=1}^N \tilde{w}\left(\frac{2m}{2N+1}\right) \cos \frac{2\pi km}{2N+1} \right). \quad (2)$$

[2]. В этом случае значения частотной выборки $\tilde{h}\left(\frac{2k}{2N+1}\right) = 1$, если $|k| < r$,
 $\tilde{h}\left(\frac{2k}{2N+1}\right) = \frac{1}{2}$, а при $k > r$ значения выборки равны нулю. При этом уровень колебаний частотной характеристики не слишком велик, а весовая функция низкочастотного фильтра в соответствии с (2) оказывается очень простой:

$$w_k = \frac{\sin \frac{2\pi rk}{2N+1} \cos \frac{\pi k}{2N+1}}{\sin \frac{\pi k}{2N+1}}. \quad (3)$$

Другим примером является построение фильтра заграждения на частотах, совпадающих с абсциссой частотной выборки $\frac{2|r|}{2N+1}$. В этом случае достаточно положить все значения $\tilde{w}\left(\frac{2k}{2N+1}\right)$, кроме случая $|k| = r$, равными единице, а значения $\tilde{w}\left(\frac{\pm 2r}{2N+1}\right)$ равными нулю. При этом в соответствии с (2) весовая функция КИХ-фильтра

$$w_k = \frac{1}{2N+1} \left(\frac{\sin \pi k}{\sin \frac{\pi k}{2N+1}} - \cos \frac{\pi rk}{2N+1} \right). \quad (4)$$

Если возникающие при этом колебания частотной характеристики в районе абсциссы $\frac{2r}{2N+1}$ оказываются нежелательными, то их можно существенно погасить, положив, например, как и в первом случае, $\tilde{w}\left(\frac{2(r-1)}{2N+1}\right) = \tilde{w}\left(\frac{2(r+1)}{2N+1}\right) = \frac{1}{2}$.

Если число отсчетов, используемых для построения КИХ-фильтра, невелико, а абсциссы характерных точек спектра (например, частота непропускания) не совпадают с абсциссами частотной выборки, то рассмотренная выше

* Фильтр заграждения с весовой функцией (4) является решением задачи (5) при одном ограничении на частотную характеристику с абсциссой частотной выборки, что следует из (17).

процедура нахождения частотной характеристики становится несколько расплывчатой. Для того чтобы ослабить «произвол» в выборе регулируемых точек частотной характеристики, в качестве «дисциплинирующего» фактора ниже предлагается использовать минимум интегрального среднеквадратичного функционала между требуемой $\tilde{h}(\omega)$ и искомой $\tilde{w}(\omega)$ характеристиками при фиксации ряда значений искомой частотной характеристики $\{\tilde{w}(\omega_m)\}$.

2. Рассмотрим задачу минимизации интегрального функционала

$$\min_{\{w_k\}} \epsilon^2 = \frac{1}{2} \int_{-1}^1 \left(\tilde{h}(\omega) - \sum_{k=-N}^N w_k \cos \pi k \omega \right)^2 d\omega + \sum_{m=1}^M \lambda_m \tilde{w}(\omega_m), \quad (5)$$

где $\{\tilde{w}(\omega_m)\}$ – совокупность регулируемых значений, которым должна равняться частотная характеристика на частотах $\{\omega_m\}$. Второе слагаемое в правой части (5) является ограничением на совокупность искомых коэффициентов $\{w_k\}$ весовой функции КИХ-фильтра, выраженным с помощью неопределенных множителей Лагранжа $\{\lambda_m\}$. Очевидно, что минимум функционала (5) при отсутствии ограничений соответствует обычному разложению частотной характеристики $\tilde{h}(\omega)$ в конечный ряд Фурье и величина этого минимума с введением ограничений возрастает. Решение задачи (5) очевидно:

$$\begin{aligned} w_0 &= h_0 - \frac{1}{2} \sum_{m=1}^M \lambda_m, & h_0 &= \frac{1}{2} \int_{-1}^1 \tilde{h}(\omega) d\omega, \\ w_k &= \frac{1}{2} h_k - \frac{1}{2} \sum_{m=1}^M \lambda_m \cos \pi k \omega_m, & h_k &= \int_{-1}^1 \tilde{h}(\omega) \cos \pi k \omega d\omega. \end{aligned} \quad (6)$$

В соотношениях (6) совокупность неопределенных множителей $\{\lambda_m\}$ определяется системой линейных уравнений

$$\begin{aligned} \sum_{r=1}^M \lambda_r \left(\frac{\sin \frac{2N+1}{2} \pi (\omega_r - \omega_m)}{\sin \frac{\pi}{2} (\omega_r - \omega_m)} + \frac{\sin \frac{2N+1}{2} \pi (\omega_r + \omega_m)}{\sin \frac{\pi}{2} (\omega_r + \omega_m)} \right) &= \\ = 4(\tilde{h}_{2N+1}(\omega_m) - \tilde{w}(\omega_m)), & m = \overline{1, M}, \end{aligned} \quad (7)$$

где

$$\tilde{h}_{2N+1}(\omega_m) = h_0 + \sum_{k=1}^N h_k \cos \pi k \omega_m. \quad (8)$$

Используя (6), можно записать соотношение для частотной характеристики

$$\tilde{w}(\omega) = \sum_{k=-N}^N w_k \cos \pi k \omega = \tilde{h}_{2N+1}(\omega) -$$

$$-\frac{1}{4} \sum_{m=1}^M \lambda_m \left(\frac{\sin \frac{2N+1}{2} \pi (\omega - \omega_m)}{\sin \frac{\pi}{2} (\omega - \omega_m)} + \frac{\sin \frac{2N+1}{2} \pi (\omega + \omega_m)}{\sin \frac{\pi}{2} (\omega + \omega_m)} \right). \quad (9)$$

Если множество абсцисс $\{w_m\}$ совпадает с множеством абсцисс частотной выборки $\omega_m = \frac{2m}{2N+1}$ ($m = \overline{-N, N}$, $M = 2N+1$), то система линейных уравнений (7) распадается на $(2N+1)$ уравнение:

$$\lambda_m = -\frac{4}{2N+1} \left(\tilde{h}_{2N+1} \left(\frac{2m}{2N+1} \right) - \tilde{w} \left(\frac{2m}{2N+1} \right) \right), \quad m = \overline{-N, N}, \quad (10)$$

а частотная характеристика фильтра

$$\begin{aligned} \tilde{w}(\omega) = & \tilde{h}_{2N+1}(\omega) - \sum_{m=-N}^N \left(\tilde{h}_{2N+1} \left(\frac{2m}{2N+1} \right) - \right. \\ & \left. - \tilde{w} \left(\frac{2m}{2N+1} \right) \right) \frac{\sin \frac{2N+1}{2} \pi \left(\omega - \frac{2m}{2N+1} \right)}{(2N+1) \sin \frac{\pi}{2} \left(\omega - \frac{2m}{2N+1} \right)}. \end{aligned} \quad (11)$$

Вторые слагаемые в (9) и (11) представляют собой дополнительные иска-
жения частотной характеристики фильтра, обусловленные наложением на
нее дополнительных ограничений (второе слагаемое функционала (5)). Об-
щее значение функционала (5), как легко подсчитать,

$$\epsilon^2 = \frac{1}{2} \sum_{k=N+1}^{\infty} h_k^2 + (h_0 - w_0)^2 + \frac{1}{2} \sum_{k=1}^N (h_k - 2w_k)^2. \quad (12)$$

В этом соотношении первое слагаемое обусловлено конечностью ряда Фурье (конечностью числа отсчетов), используемого при построении фильтра, а остальные слагаемые вызваны отличием (из-за ограничений) истинных коэффициентов ряда Фурье от используемых при построении фильтра.

3. Рассмотрим более подробно построение фильтра заграждения на сово-
купности частот $\{\omega_m\}$ ($m = \overline{1, M}$). В этом случае система уравнений (7) для
определения множителей Лагранжа принимает следующий вид:

$$\sum_{r=1}^M \lambda_r \left(\frac{\sin \frac{2N+1}{2} \pi (\omega_r - \omega_m)}{\sin \frac{\pi}{2} (\omega_r - \omega_m)} + \frac{\sin \frac{2N+1}{2} \pi (\omega_r + \omega_m)}{\sin \frac{\pi}{2} (\omega_r + \omega_m)} \right) = 4(1 - \tilde{w}(\omega_m)), \quad m = \overline{1, M}. \quad (13)$$

Совокупность значений частотной характеристики $\{\tilde{w}(\omega_m)\}$ характеризует коэффициенты пропускания на частотах заграждения. Если значения частотной характеристики $\tilde{w}(\omega_m) = 0$ ($m=1, M$), то на всех частотах $\{\omega_m\}$ сигнал полностью подавляется. Решение задачи очень просто при одном ограничении на частотную характеристику $\tilde{w}(\omega_1)$. В этом случае в соответствии с (7) неопределенный множитель Лагранжа

$$\lambda_1 = \frac{4(1 - \tilde{w}(\omega_1))}{2N + 1 + \frac{\sin(2N + 1)\pi\omega_1}{\sin\pi\omega_1}}, \quad (14)$$

а значения весовой функции фильтра в соответствии с (6)

$$w_0 = 1 - \frac{2(1 - \tilde{w}(\omega_1))}{2N + 1 + \frac{\sin(2N + 1)\pi\omega_1}{\sin\pi\omega_1}}, \quad (15)$$

$$w_k = -\frac{2(1 - \tilde{w}(\omega_1)) \cos\pi k\omega_1}{2N + 1 + \frac{\sin(2N + 1)\pi\omega_1}{\sin\pi\omega_1}}.$$

Частотная характеристика определяется соотношением

$$\tilde{w}(\omega) = 1 - (1 - \tilde{w}(\omega_1)) \frac{\frac{\sin \frac{2N+1}{2}\pi(\omega - \omega_1)}{\sin \frac{\pi}{2}(\omega - \omega_1)} + \frac{\sin \frac{2N+1}{2}\pi(\omega + \omega_1)}{\sin \frac{\pi}{2}(\omega + \omega_1)}}{2N + 1 + \frac{\sin(2N + 1)\pi\omega_1}{\sin\pi\omega_1}}. \quad (16)$$

Рассмотрим более подробно этот случай, так как он представляет интерес для подавления гармонической помехи известной частоты ω_1 . Из (14) следует, что при $\tilde{h}(\omega) = 1$, $\omega = \pm\omega_1$ и $\tilde{w}(\omega_1) = 0$ частотная характеристика

$$\tilde{w}(\omega) = 1 - \frac{\frac{\sin \frac{2N+1}{2}\pi(\omega - \omega_1)}{\sin \frac{\pi}{2}(\omega - \omega_1)} + \frac{\sin \frac{2N+1}{2}\pi(\omega + \omega_1)}{\sin \frac{\pi}{2}(\omega + \omega_1)}}{2N + 1 + \frac{\sin(2N + 1)\pi\omega_1}{\sin\pi\omega_1}} \quad (17)$$

обращается в нуль. Это теоретически позволяет подавить гармоническое колебание любой мощности и частоты ($|\omega_1| \leq 1$) вне зависимости от длины КИХ-фильтра $L = 2N + 1$, в том числе и в случае, когда частота ω_1 не совпадает с абсциссами частотной выборки, равными $\frac{2|k|}{2N + 1}$ ($|k| = 1, N$). При этом дис-

персия ошибки искажения сигнала, если его спектральная плотность $S_f(\omega) = \frac{\sigma_f^2}{2} 1[1 - |\omega|]$,

$$\varepsilon^2 = \sigma_f^2 \frac{2}{2N + 1 + \frac{\sin(2N + 1)\pi\omega_1}{\sin\pi\omega_1}}. \quad (18)$$

Величина дисперсии ошибки, как и следовало ожидать, обратно пропорциональна длине фильтра $L = 2N + 1$.

Как показывает анализ (см. приложение 1), эти потери можно уменьшить, если учесть соотношение $\alpha_1^2 = \sigma_\phi^2 / \sigma_f^2$ между дисперсией гармонического шума σ_ϕ^2 и дисперсией сигнала σ_f^2 , выбрав

$$\tilde{w}(\omega_1) = \frac{1}{1 + \frac{\alpha_1^2}{2} \left(2N + 1 + \frac{\sin(2N + 1)\pi\omega_1}{\sin\pi\omega_1} \right)}. \quad (19)$$

Тогда дисперсия ошибки уменьшается и равна

$$\varepsilon^2 = \sigma_f^2 \frac{\alpha_1^4}{2} \frac{2N + 1 + \frac{\sin(2N + 1)\pi\omega_1}{\sin\pi\omega_1}}{\left(1 + \frac{\alpha_1^2}{2} \left(2N + 1 + \frac{\sin(2N + 1)\pi\omega_1}{\sin\pi\omega_1} \right) \right)^2}. \quad (20)$$

При $\alpha_1^2 \rightarrow \infty$ соотношение (20) совпадает с (18).

Для иллюстрации изложенного выше рассмотрим пример, когда на тестовое изображение "Lenna" (рис. 1) наложен мощный гармонический сигнал частоты $\omega_1 = 0,25$ (рис. 2). На рис. 4, *a* приведен результат обработки смеси (рис. 3) фильтром заграждения с частотной характеристикой (17). На рис. 4, *b* показана фильтрация шума с частотой $\omega_1 = 0,5$, а на рис. 4, *c* – с частотой $\omega_1 = 0,75$. Соответствующие частотные характеристики фильтра изображены на рис. 5, *a*–*c*. Вследствие колебаний частотной характеристики фильтра заграждения на восстановленных изображениях возникают повторы, особенно при низкочастотном шуме. Характер этих искажений может быть изменен путем наложения дополнительных условий на частотную характеристику фильтра с целью «успокоения» ее колебаний. Однако при этом возрастает величина диспер-

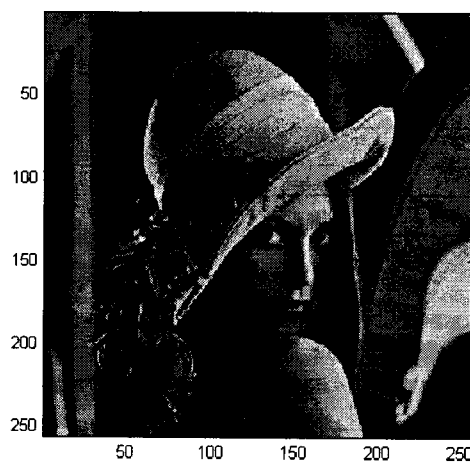


Рис. 1. Тестовое изображение
(256 × 256 × 8 бит)

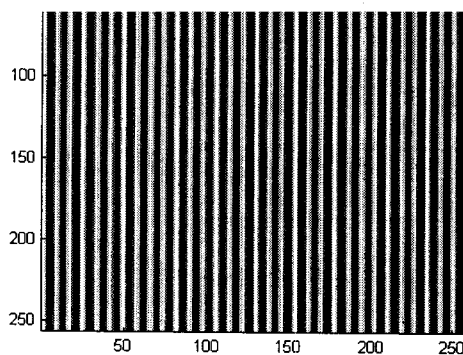


Рис. 2. Гармоническая помеха
($256 \times 256 \times 10$ бит)

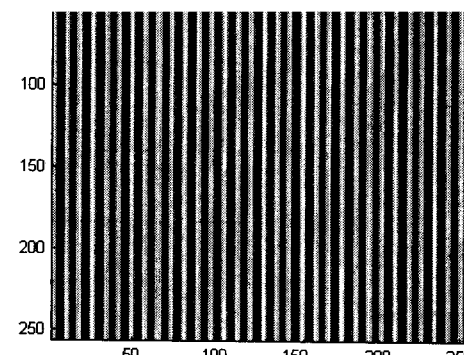
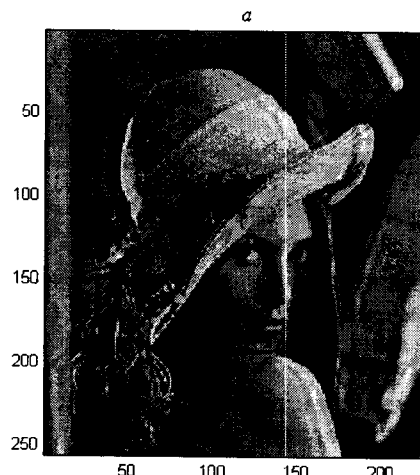
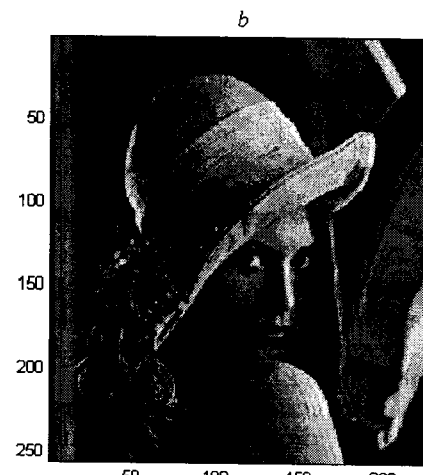


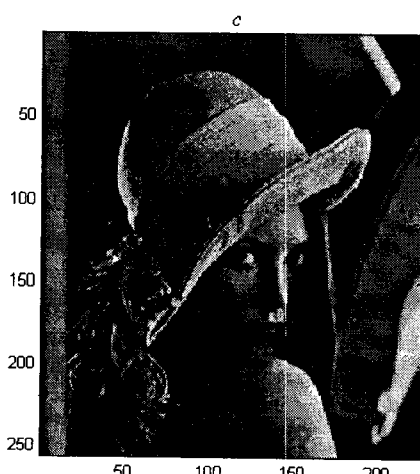
Рис. 3. Смесь тестового изображения и гармонической помехи ($256 \times 256 \times 11$ бит)



a



b



c

Рис. 4. Результат фильтрации шума с частотой $\omega_1 = 0,25$ (a), $0,5$ (b) и $0,75$ (c), $L = 31$ ($226 \times 256 \times 8$ бит)

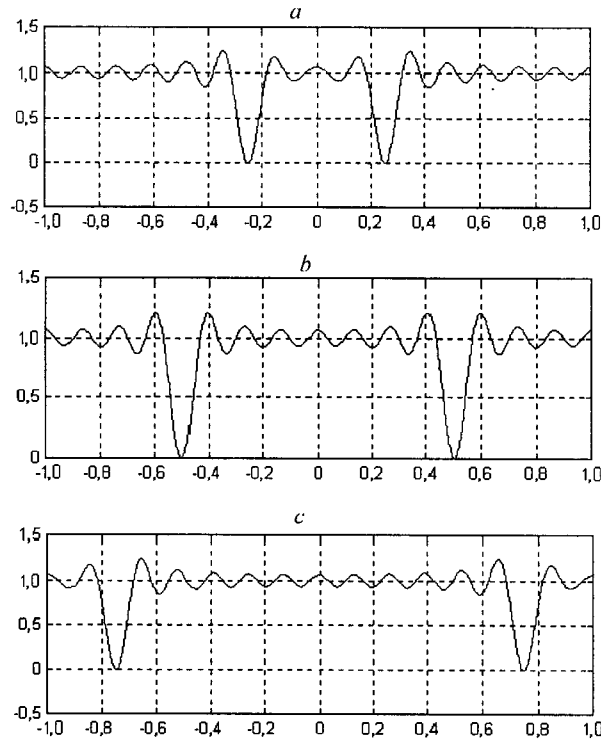


Рис. 5. Частотная характеристика фильтра: $\omega_1 = 0,25$ (а), $0,5$ (б) и $0,75$ (с)

ции ошибки восстановления изображения и восстановленное изображение становится менее контрастным. При увеличении длины фильтра L дисперсия искажений восстановленного изображения уменьшается (обратно пропорционально L).

Выше рассматривалось построение четной частотной характеристики фильтра. Соотношения для нечетной частотной характеристики приведены в приложении 2. Если частотная характеристика смешанная, то ее необходимо известными методами разделить на четную и нечетную составляющую.

Решение задачи нахождения четной частотной характеристики в двумерном случае содержится в приложении 3.

4. Использование приведенных выше соотношений представляет один из возможных способов построения частотной характеристики КИХ-фильтра при наличии ограничений на нее на частотах, не совпадающих с абсциссами частотной выборки.

ПРИЛОЖЕНИЕ 1

Построение фильтра заграждения на совокупности частот $\{\omega_m\}$ ($m=1, M$) с учетом энергии гармонических составляющих $\{\sigma_{m\varphi}^2\}$ можно связать с минимумом функционала

$$\min_{\{\omega_k\}} \int_{-1}^1 S_f(\omega) \left(1 - \sum_{k=-N}^N w_k \cos \pi k \omega \right)^2 d\omega + \sum_{m=1}^M \sigma_{m\varphi}^2 \tilde{w}^2(\omega_m). \quad (\text{П1})$$

Если спектр мощности сигнала постоянен в полосе частот $|\omega| < 1$, то решение задачи (П1) примет вид:

$$w_0 = 1 - \sum_{m=1}^M \alpha_m^2 \tilde{w}(\omega_m), \quad w_k = - \sum_{m=1}^M \alpha_m^2 \tilde{w}(\omega_m) \cos \pi k \omega_m, \quad (\text{П2})$$

где $\alpha_m^2 = \sigma_{m\varphi}^2 / \sigma_f^2$.

Частотная характеристика фильтра заграждения

$$\tilde{w}(\omega) = 1 - \frac{1}{2} \sum_{m=1}^M \alpha_m^2 \tilde{w}(\omega_m) \left(\frac{\sin \frac{2N+1}{2} \pi (\omega - \omega_1)}{\sin \frac{\pi}{2} (\omega - \omega_1)} + \frac{\sin \frac{2N+1}{2} \pi (\omega + \omega_1)}{\sin \frac{\pi}{2} (\omega + \omega_1)} \right). \quad (\text{П3})$$

Значения частотной характеристики фильтра $\{\tilde{w}(\omega_m)\}$ на частотах $\{\omega_m\}$ подавления шума определяются системой уравнений

$$\tilde{w}(\omega_m) = 1 + \frac{1}{2} \sum_{r=1}^M \alpha_r^2 \tilde{w}(\omega_r) \left(\frac{\sin \frac{2N+1}{2} \pi (\omega_r - \omega_m)}{\sin \frac{\pi}{2} (\omega_r - \omega_m)} + \frac{\sin \frac{2N+1}{2} \pi (\omega_r + \omega_m)}{\sin \frac{\pi}{2} (\omega_r + \omega_m)} \right), \quad (\text{П4})$$

где $m = \overline{1, M}$.

ПРИЛОЖЕНИЕ 2

Для оптимизации нечетной составляющей частотной характеристики при наличии ограничений на ее значения справедливы следующие соотношения:

$$w_k = \frac{1}{2} h_k - \frac{1}{2} \sum_{m=1}^N \lambda_m \sin \pi k \omega_m, \quad h_k = \int_{-1}^1 \tilde{h}(\omega) \sin \pi k \omega d\omega, \quad (\text{П5})$$

$$\tilde{w}(\omega) = \tilde{h}_{2N+1}(\omega) - \frac{1}{4} \sum_{m=1}^M \lambda_m \left(\frac{\sin \frac{2N+1}{2} \pi (\omega - \omega_m)}{\sin \frac{\pi}{2} (\omega - \omega_m)} - \frac{\sin \frac{2N+1}{2} \pi (\omega + \omega_m)}{\sin \frac{\pi}{2} (\omega + \omega_m)} \right), \quad (\text{П6})$$

где $\tilde{h}_{2N+1}(\omega) = \sum_{k=1}^N h_k \sin \pi k \omega$.

Множители Лагранжа определяются системой уравнений

$$\sum_{r=1}^M \lambda_r \left(\frac{\sin \frac{2N+1}{2} \pi (\omega_r - \omega_m)}{\sin \frac{\pi}{2} (\omega_r - \omega_m)} - \frac{\sin \frac{2N+1}{2} \pi (\omega_r + \omega_m)}{\sin \frac{\pi}{2} (\omega_r + \omega_m)} \right) = 4(\tilde{h}_{2N+1}(\omega_m) - \tilde{w}(\omega_m)). \quad (\text{П7})$$

ПРИЛОЖЕНИЕ 3

В двумерном случае ($|\omega|, |\lambda| \leq 1$), если частотная характеристика – четная функция:

$$\tilde{w}(\omega, \lambda) = w_{00} + 2 \sum_{k=1}^N w_{k0} \cos \pi k \omega + 2 \sum_{n=1}^N w_{0n} \cos \pi n \lambda + \quad (\text{П18})$$

$$2 \sum_{m=1}^M \lambda_m \sum_{k=1}^N \cos \pi k \omega \cos \pi k \lambda - 2 \sum_{m=1}^M \lambda_m \cos \pi n \omega_m, \quad (\text{П19})$$

$$w_{0n} = \frac{1}{4} h_{0n} - \frac{1}{2} \sum_{m=1}^M \lambda_m \cos \pi n \lambda_m, \quad w_{kn} = \frac{1}{4} h_{kn} - \frac{1}{2} \sum_{m=1}^M \lambda_m \cos \pi k \omega_m \cos \pi n \lambda_m,$$

где $h_{kn} = \int_{-1}^1 \int_{-1}^1 d\omega d\lambda \tilde{h}(\omega, \lambda) \cos \pi k \omega \cos \pi n \lambda$. При этом частотная характеристика

$$\begin{aligned} \tilde{w}(\omega, \lambda) &= \tilde{h}_{2N+1}(\omega, \lambda) - \frac{1}{8} \sum_{m=1}^M \lambda_m \left(\frac{\sin \frac{2N+1}{2} \pi (\omega - \omega_m)}{\sin \frac{\pi}{2} (\omega - \omega_m)} + \frac{\sin \frac{2N+1}{2} \pi (\omega + \omega_m)}{\sin \frac{\pi}{2} (\omega + \omega_m)} \right) \times \\ &\times \left(\frac{\sin \frac{2N+1}{2} \pi (\lambda - \lambda_m)}{\sin \frac{\pi}{2} (\lambda - \lambda_m)} + \frac{\sin \frac{2N+1}{2} \pi (\lambda + \lambda_m)}{\sin \frac{\pi}{2} (\lambda + \lambda_m)} \right). \end{aligned} \quad (\text{П10})$$

Система уравнений для определения $\{\lambda_m\}$

$$\begin{aligned} \sum_{r=1}^M \lambda_r \left(\frac{\sin \frac{2N+1}{2} \pi (\omega - \omega_m)}{\sin \frac{\pi}{2} (\omega - \omega_m)} + \frac{\sin \frac{2N+1}{2} \pi (\omega + \omega_m)}{\sin \frac{\pi}{2} (\omega + \omega_m)} \right) \times \\ \times \left(\frac{\sin \frac{2N+1}{2} \pi (\lambda - \lambda_m)}{\sin \frac{\pi}{2} (\lambda - \lambda_m)} + \frac{\sin \frac{2N+1}{2} \pi (\lambda + \lambda_m)}{\sin \frac{\pi}{2} (\lambda + \lambda_m)} \right) = 8(\tilde{h}_{2N+1}(\omega_m, \lambda_m) - \tilde{w}(\omega_m, \lambda_m)). \end{aligned} \quad (\text{П11})$$

Если регулируется одно (на самом деле из-за четности четырёх) значение частотной характеристики, то в этом случае

$$\lambda_1 = \frac{8}{\left(2N + 1 + \frac{\sin(2N+1)\pi\omega_1}{\sin\pi\omega_1} \right) \left(2N + 1 + \frac{\sin(2N+1)\pi\lambda_1}{\sin\pi\lambda_1} \right)}, \quad (\Pi12)$$

$$\begin{aligned} \tilde{w}(\omega) &= 1 - \frac{\left(\frac{\sin \frac{2N+1}{2} \pi(\omega - \omega_1)}{\sin \frac{\pi}{2}(\omega - \omega_1)} + \frac{\sin \frac{2N+1}{2} \pi(\omega + \omega_1)}{\sin \frac{\pi}{2}(\omega + \omega_1)} \right)}{\left(2N + 1 + \frac{\sin(2N+1)\pi\omega_1}{\sin\pi\omega_1} \right)} \rightarrow \\ &\rightarrow \frac{\left(\frac{\sin \frac{2N+1}{2} \pi(\lambda - \lambda_1)}{\sin \frac{\pi}{2}(\lambda - \lambda_1)} + \frac{\sin \frac{2N+1}{2} \pi(\lambda + \lambda_1)}{\sin \frac{\pi}{2}(\lambda + \lambda_1)} \right)}{\left(2N + 1 + \frac{\sin(2N+1)\pi\lambda_1}{\sin\pi\lambda_1} \right)}. \end{aligned} \quad (\Pi13)$$

Авторы признательны А. Н. Касперовичу за обсуждение результатов работы и ценные замечания.

СПИСОК ЛИТЕРАТУРЫ

1. Рабинер Л., Гоулд Б. Теория и применение цифровой обработки сигналов. М.: Мир, 1978.
2. Ефимов В. М., Касперович А. Н. Оптимизация децимированного фильтра в АЦП с дельта-сигма-модуляцией // Автометрия. 1995. № 4. С. 75.

*Институт автоматики и электрометрии СО РАН,
E-mail: torgov@iae.nsk.su*

*Поступила в редакцию
2 июня 2000 г.*